

## مطالعه تاثیر بازپخت در جو $H_2S$ بر خواص ساختاری و اپتیکی نیمرساناهای تری-اکسید مولیبدن

مصطفی جهان دوست ، مهدی عادلی فرد

دانشکده فیزیک، دانشگاه دامغان

چکیده - لایه‌های نازک تری-اکسید مولیبدن آلاییده شده با گوگرد ( $MoO_3:S$ ) در دمای  $310^\circ C$  بر روی زیر لایه شیشه با استفاده از محلول آبی آمونیوم هپتا مولیبدات و تیوره با نسبت‌های مولی ۴:۱ به مولیبدن ( $S:Mo$ ) برابر با ۴ و ۱۰ به روش افشارهای تجزیه‌ی حرارتی تهیه شدند. همچنین مشخصه-لایه‌های ساختاری، ریخت‌شناسی و اپتیکی نمونه‌ها با استفاده از آنالیزهای XRD، تصاویر میکروسکوپ الکترونی روبشی گسیل میدانی (FESEM) و طیف‌های اپتیکی صورت گرفت. نتایج حاکی از شکل گیری ساختار پسیلوئی  $MoO_3$  در فاز ارتورومیک با سمتگیری ترجیحی ( $(020)$ ) و فاز ثانویه هگزاگونال  $MoS_2$  می‌باشد. تصاویر FESEM یک ساختار اسفنجی شکل متشکل از ذرات مکعبی با ابعاد نانومتری را نشان داد. مطالعات اپتیکی نشان داد لایه‌های  $MoO_3:S$  از ضریب جذب بالایی در ناحیه مرئی برخودارند و مقادیر گاف نواری بعد از بازپخت به طور چشمگیری کاهش یافت.

کلید واژه- تری-اکسید مولیبدن، دی‌سولفید مولیبدن، افشارهای تجزیه‌ی حرارتی، خواص اپتیکی.

## Study of annealing effect in $H_2S$ atmosphere on structural and optical properties of molybdenum trioxide semiconductors

Mustafa Jahandoost ; Mehdi adelifard

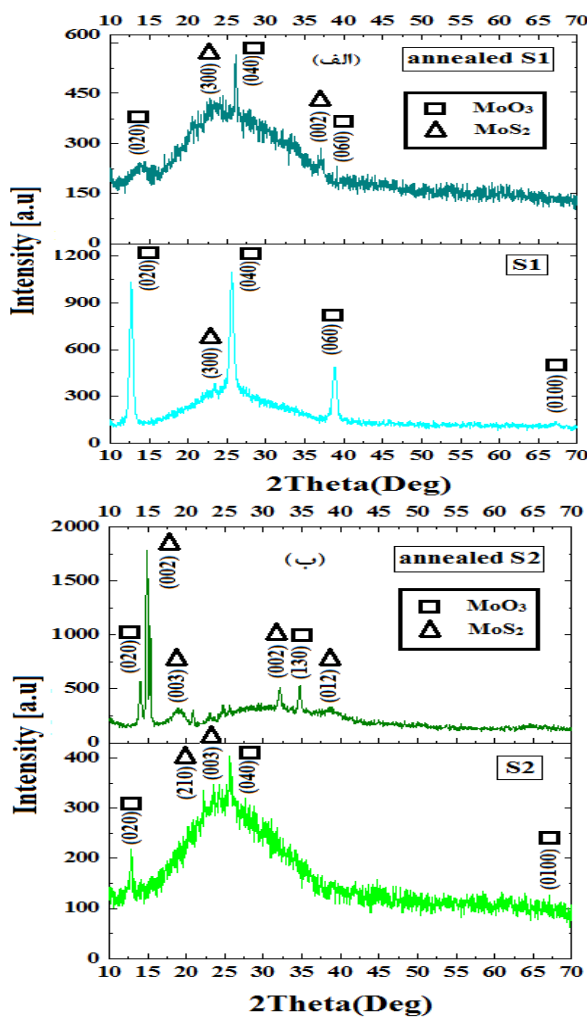
Department of Physics, University of Damghan

Abstract- sulfur doped molybdenum trioxide ( $MoO_3:S$ ) thin films were deposited on the glass substrate by spray pyrolysis method using an aqueous solutions of ammonium molybdate tetrahydrate and thiourea with sulfur to molybdenum (S :MO) molar ratios equal to 4 and 10 at substrate temperature of  $310^\circ C$ . Also, the structural, morphological and optical characterizations of samples were carried out using XRD, field emission scanning electron microscope (FESEM) images and optical spectrum. These results indicate the formation of a  $MoO_3$  polycrystalline structure at orthorhombic phase with preferred orientation along  $(020)$  plane and  $MoS_2$  hexagonal secondary phase. FESEM images showed that a sponge-type structure with cubic particles of nano-metric dimensions. Optical studies showed the  $MoO_3:S$  layers have a high absorption coefficient in the visible region, and after annealing the band gap values decreased significantly.

Keywords: Molybdenum Trioxide; Molybdenum diSulfide; Spray pyrolysis; Optical properties.

این مقاله در صورتی دارای اعتبار است که در سایت [www.opsi.ir](http://www.opsi.ir) قابل دسترسی باشد.

(0072) و برای نمونه S2 نیز علاوه بر یکسانی راستای صفحات بلوری فازهای  $\text{MoO}_3$  و  $\text{MoS}_2$  با جهت‌گیرهای بلوری نمونه S1 قله دیگری (۲۱۰) نیز ظاهر شده است. از طرفی، همانطور که ملاحظه می‌شود، بعد از بازپخت، کاهشی در شدت قله‌های مربوط به راستاهای صفحات بلوری  $\text{MoO}_3$  در این نمونه ایجاد شده و قله‌هایی مربوط به فاز سولفیدی  $\text{MoS}_2$  ظاهر می‌شود.



شکل ۱: طیف XRD نمونه‌ها قبل و بعد از بازپخت (الف) نمونه S1 و (ب) نمونه S2

مقادیر اندازه بلورک‌ها نیز با استناد به مهمترین قله‌های ترجیحی شکل گرفته در نمونه‌ها که در طیف XRD مشخص هستند و مقادیر پنهانی کل در نصف ارتفاع بیشینه  $\beta$  (FWHM) و نیز زاویه برآگ  $\theta$  مربوط به قله (۰۲۰) با استفاده از فرمول شر (رابطه ۱) تعیین شدند و در جدول ۱ آورده شده است.

$$D = k\lambda / \beta \theta \quad (1)$$

جدول ۱ - مقادیر اندازه بلورک نمونه‌ها قبل و بعد از بازپخت

نمونه	D (nm) - (hkl)
S1	۲۰,۳۳ - (۰۲۰)
Annealed S1	۱۲,۷۰ - (۰۲۰)

## ۱ - مقدمه

تری اکسید مولیبدن ( $\text{MoO}_3$ ) از جمله نیمرساناهای اکسیدی فلزات انتقالی با گاف نواری پهن از نوع  $n$  محسوب می‌شود، پهنانی گاف نواری این ماده می‌تواند تحت شرایط مختلف رشد در بازه ۲,۹۹ تا ۳,۵۵ eV تغییر کند. از این نیمرسان، کاربردهای متنوعی در زمینه الکتروکرومیک، فوتوکرومیک، کاتالیستی، حسگرهای گازی و سلول‌های خورشیدی گزارش شده است [۲۰]. تری اکسید مولیبدن دارای سه فاز ارتورومیک (فاز a)، منو کلینیک (فاز  $\beta$ ) و هگزاگونال (فاز h) می‌باشد [۴]. تاکنون روش‌های متنوعی برای تهیه نانوساختارهای مختلف تری اکسید مولیبدن از قبیل: لایه‌نشانی به روش‌های کندوپاش [۴]، افشارنی تجزیه‌ی حرارتی [۲, ۷, ۸]، گرمابی [۶]، انباشت به روش تبخیر لیزری [۸]، رسوب‌دهی بخار شیمیایی [۹] و غیره گزارش شده است. در این تحقیق تاثیر بازپخت در حضور گازهای  $\text{Ar}/\text{H}_2\text{S}$  و نیز غلظت سولفور بر خواص ساختاری، ریخت‌شناسی و اپتیکی لایه‌های نازک  $\text{MoO}_3:\text{S}$  تهیه شده به روش افشارنی تجزیه حرارتی مورد بررسی قرار گرفته است.

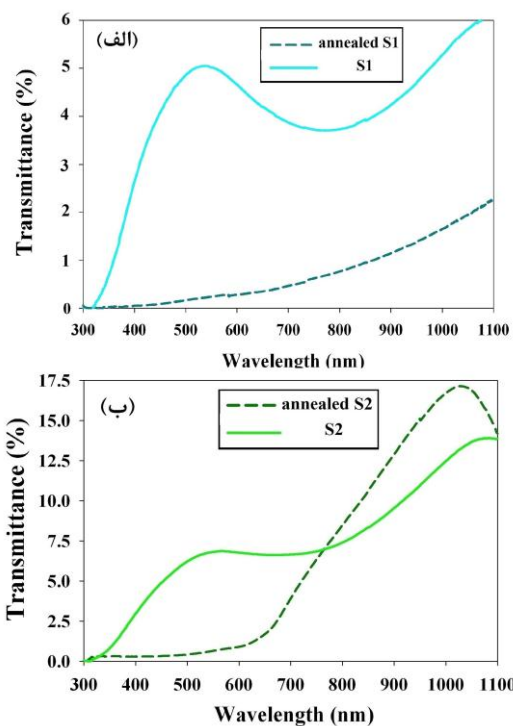
## ۲ - جزئیات مراحل آزمایشگاهی

### ۲-۱ - سنتز و بازپخت لایه‌های نازک

لایه‌های نازک  $\text{MoO}_3:\text{S}$  بر روی زیرلایه شیشه‌ای با استفاده از روش افشارنی حرارتی تهیه شدند. محلول آبی اولیه افشارنی تجزیه‌ی حرارتی شامل آمونیوم هپتا مولیبدات تترا هیدرات ( $(\text{NH}_4)_6\text{MO}_7\text{O}_{24} \cdot 4\text{H}_2\text{O}$ ) با غلظت  $1\text{M}$  و تیوره  $[\text{S}]$ :  $[\text{MO}]$ : $4$  (نمونه S1) و  $[\text{S}]$ :  $[\text{MO}]$ : $10$  (نمونه S2) می‌باشد. دمای لایه‌نشانی، برای افشارنی محلول اولیه برروی زیرلایه‌های شیشه‌ای در دو نمونه  $310^\circ\text{C}$  آهنگ شارش محلول  $7\text{ cc/min}$  و فشار گاز حامل (هوا)  $3\text{ bar}$  تنظیم شد. همچنین به منظور بررسی تاثیر بازپخت بر خواص فیزیکی نمونه‌های مورد مطالعه، S1 و S2 به مدت  $60$  دقیقه در حضور گازهای  $\text{Ar}/\text{H}_2\text{S}$  بازپخت شدند.

### ۲-۲ - مطالعه خواص ساختاری لایه‌ها

در شکل‌های ۱ (الف) و (ب) نتایج حاصل از آنالیز XRD (با استفاده از نرم افزار X'Pert HighScore) حاکی از تشکیل ساختار فاز ارتورومیک ( $\text{MoO}_3$ ) بسبلوری، برای نمونه S1 با جهت‌گیرهای راستای صفحات بلوری (۰۰۲)، (۰۲۰)، (۰۴۰) و (۰۱۰) (مطابق با کارت استاندارد JCPDS شماره ۰۱۰۰۰۵۰۵۰۸) و نیز فاز هگزاگونال  $\text{MoS}_2$  با جهت‌گیری (۰۰۵-۰۰۵-۰۰۵) (مطابق با کارت استاندارد JCPDS شماره ۱۴-۱۴۰۰۰۵۰۵۰۸) card No: 14-



شکل ۳: طیف عبوری نمونه‌های مورد مطالعه قبل و بعد از بازپخت  
(الف) نمونه S1 و (ب) نمونه S2

ضریب جذب نمونه‌ها از رابطه (۲) محاسبه شدند:

$$\alpha = 2.303 \text{ A} / d \quad (2)$$

که در این رابطه A عدد جذب و d ضخامت لایه می‌باشد.

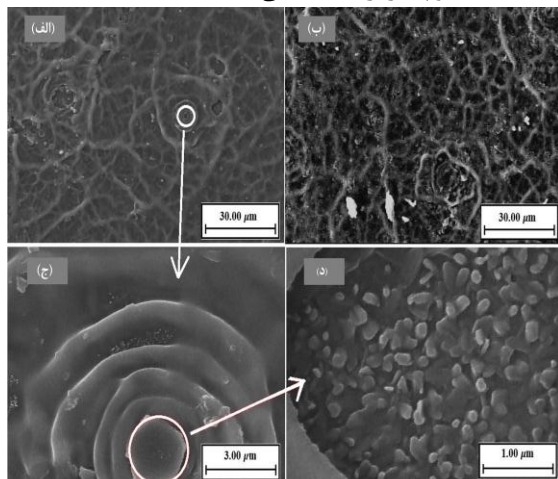
شکل ۴ (الف) و (ب) مربوط ضریب جذب نمونه‌های S1 و S2 قبل و بعد از بازپخت می‌باشد. افزایشی در ضریب جذب نمونه‌ها در تمامی گسترهای طول موجی ملاحظه می‌شود.

S2	۳۳/۸۶ - (۰۲۰)
Annealed S2	۲۲/۴۹ - (۰۲۰)

همانطور که ملاحظه می‌شود، در اثر بازپخت، مقادیر اندازه بلوک نمونه‌ها روند کاهشی دارند که این امر می‌تواند نشان دهنده افزایش نسبی در میزان تراکم و فشردگی عناصر در ساختار بلوری نمونه‌های مورد مطالعه باشد.

## ۲-۲- بررسی ریخت‌شناسی سطح

تصاویر FESEM مربوط به نمونه S1 قبیل و بعد از بازپخت به ترتیب در شکل ۲ (الف) و (ب) آورده شده است. همانطور که ملاحظه می‌شود، سطح این نمونه‌ها از ساختارهای جزیره‌ای شکل به هم پیوسته‌ای تشکل شده است. بزرگنمایی بیشتر نمونه S1 (شکل ۲ (ج)) نشان می‌دهد که ساختار اسفنجی شکل را می‌توان در این نمونه‌ها ملاحظه نمود به طوری که خود این ساختارهای اسفنجی شکل همانطور که در شکل ۲ (د) دیده می‌شود متخلک از دانه‌های تقریباً مکعب شکلی با ابعاد دانه‌ای کوچکتر از ۵۰ nm می‌باشند.



شکل ۲ (الف) و (ب): تصاویر FESEM لایه نازک نanosاختاری S1 قبل و بعد از بازپخت، (ج) و (د) مربوط به بزرگنمایی بیشتر نمونه S1

## ۳-۲- مطالعه خواص اپتیکی لایه‌ها

شکل‌های ۳ (الف) و (ب) به ترتیب طیف عبوری نمونه‌های S1 و S2 قبل و بعد از بازپخت نشان می‌دهد. نتایج نشان می‌دهد که نمونه‌های S1 و S2 از میزان عور پایینی در گستره نور مولئی برخوردارند و از طرفی با بازپخت نمونه‌ها کاهشی در میزان عبور این نمونه‌ها متناسب با کاهش در ابعاد بلورک‌ها (جدول ۱) در نتیجه افزایش پراکندگی فوتونها مشاهده می‌شود.

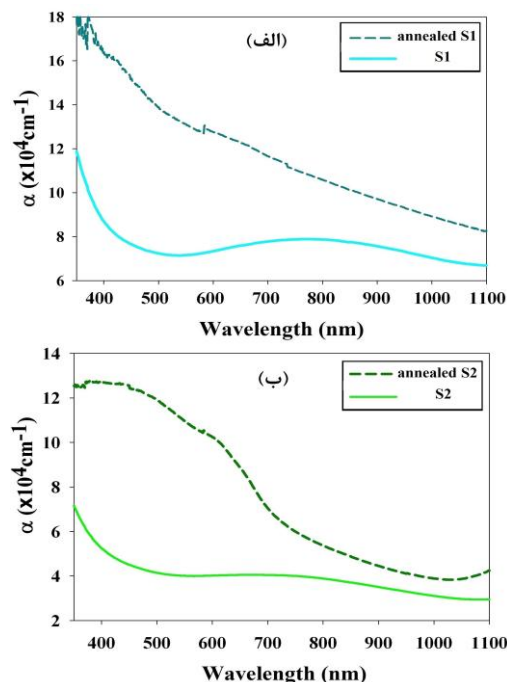
همانطور که مشاهده می شود، نمونه های S1 و S2 قبل از بازپخت از مقادیر گاف نواری دوگانه مربوط به فاز های  $\text{MoO}_3$  و  $\text{MoS}_2$  برخودار هستند، که در نمونه های بازپخت شده کاهش چشمگیری در مقدار گاف نواری به دلیل فاز غالب  $\text{MoS}_2$  نسبت به  $\text{MoO}_3$  ملاحظه می شود.

### نتیجه گیری

در این تحقیق تاثیر بازپخت در حضور گاز های  $\text{Ar}/\text{H}_2\text{S}$  بر خواص ساختاری، ریخت شناسی و اپتیکی لایه های نازک  $\text{MoO}_3:\text{S}$  بررسی شد. نتایج نشان داد که با تاثیر بازپخت و نیز غلظت گوگرد بر روی لایه های نازک  $\text{MoO}_3$  می توان علاوه بر تشکیل ساختارهای دوفازی  $\text{MoO}_3$  و  $\text{MoS}_2$ ، شاهد تغییرات چشمگیری در خواص اپتیکی آنها باشیم. در این مطالعه ملاحظه شد بعد از عملیات بازپخت مقادیر عبور نمونه ها در ناحیه مرئی کاهش و میزان جذب آنها افزایش قابل ملاحظه ای دارند. از طرفی مقادیر گاف نواری نمونه های مورد مطالعه نیز تحت تاثیر عملیات بازپخت و به دلیل تشکیل فاز های ساختاری دوگانه تغییرات چشمگیری را در پی داشته است.

### مراجع

- [1] S. Subbarayudu, V. Madhavi, S. Uthanna, "Post-deposition annealing controlled structural and optical properties of RF magnetron sputtered  $\text{MoO}_3$  films" Advanced materials, 4(8), 637-642.2013.
- [2] D.V. Ahire, S.D. Shinde, G. E. Patil, K. K. Thakur, V. B. Gaikwad, V.G. Wagh and G. H. Jain, "Preparation of  $\text{MoO}_3$  thin films by spray pyrolysis and its gas sensing performance", International Journal on Smart Sensing and Intelligent Systems 5, NO. 3.2012.
- [3] A. Abinaya, B.G. Jeyaprakash , "Structural, surface and mechanical characterization of spray-deposited " Materials Science in Semiconductor Processing, Volume 31, Pages 582–587, March 2015.
- [4] Kaykhosrow Khojier1, Samira Zolghadr, Naser Zare Nano materials, "Structural, Electrical and Optical Properties Thin Films Prepared of Molybdenum Oxide by Post-annealing of Mo Thin Films" Int. J. Bio-Inorg Hybd. Nanomat., Vol. 1, 199-207, No. 3 ,2012.
- [5] A. Bouzidi, N. Benramdane, H. Tabet-Derraz, et al, "Effect of substrate temperature on the structural and Optical properties of  $\text{MoO}_3$  thin films prepared by spray pyrolysis technique"Materials Science and Engineering B97, 2003.
- [6] C. Villevieille, X.J. Wang, F. Krumeich, R.Nesper, " $\text{MoS}_2$  coating on  $\text{MoO}_3$  nanobelts: A novel approach for a high specific charge electrode for rechargeable Li-ion batteries" Journal of Power Sources 279, 636e644, 2015.
- [7] H.M. Martinez, J. Torres,... "The Effectof Substrate Temperature on the Optical Properties of  $\text{MoO}_3$  Nanocrystals Prepared Using Spray Pyrolysis" J Supercond Nov Magn, 26:2485–2488,2013.
- [8] S.S. Sunu, E. Prabhu, V. Jayaraman, K.I. Gnanasekar, T. Gnanasekaran, "Gas sensing properties of PLD made  $\text{MoO}_3$  films", Sens. Actuators B, Vol. 94, 2, pp. 189–196, 2003.
- [9] K.A. Gesheva, T. Ivanova, "A low-temperature pressure CVD process for growing thin films of  $\text{MoO}_3$ ", Chem. Vap Deposit., Vol. 12, No. 4, pp. 231–238, 2006.



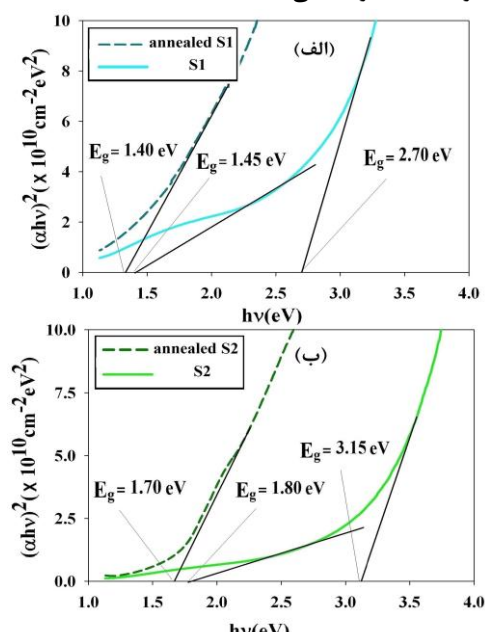
شکل ۴ : طیف ضریب جذب نمونه های مورد مطالعه قبل و بعد از بازپخت (الف) نمونه S1 و (ب) نمونه S2

همچنین به منظور تعیین گاف نواری مستقیم لایه های نازک از رابطه (۳) استفاده می شود:

$$(\alpha h\nu)^2 = A(h\nu - E_g) \quad (3)$$

که در آن  $h\nu$  انرژی فوتون فرودی،  $E_g$  گاف نواری لایه و  $A$  یک ثابت است.

شکل ۵ (الف) و (ب) به ترتیب مرتبه گاف نواری مستقیم نمونه های S1 و S2 می باشد.



شکل ۵ : گاف نواری مستقیم نمونه های مورد مطالعه قبل و بعد از بازپخت (الف) نمونه S1 و (ب) نمونه S2